

A. Г. ШВЕЦ, к. т. н. В. В. РЮХТИН

Украина, Черновицкий национальный университет им. Ю. Федьковича,  
 ЦКБ «Ритм»  
 E-mail: microel@chmu.cv.ua, dr.slava47@mail.ru

Дата поступления в редакцию  
 06.12.2007 г.

Оппонент д. т. н. С. Г. АНТОЩУК  
 (ОНПУ, г. Одесса)

## СРАВНИТЕЛЬНЫЕ ХАРАКТЕРИСТИКИ ОПТРОНОВ С ОТКРЫТЫМ ОПТИЧЕСКИМ КАНАЛОМ

*Рассмотрены характеристики промышленных оптических сенсоров положения объектов в пространстве и спроектированного датчика угловых и линейных перемещений ДУЛП. Предложены пути оптимизации параметров сенсоров с открытым оптическим каналом.*

Фототранзисторные отражающие оптрыны с открытым оптическим каналом (**ООК**) как первичные преобразователи неэлектрических величин широко применяются в бесконтактных оптических датчиках перемещения, микроэлектронных информационно-измерительных системах и выпускаются серийно (АОТ137Б и АОТ154А) [1]. Известны также транзисторные отражающие оптрыны типа ОТПО 01—03, которые применяются в качестве датчиков перемещения, скорости, давления, вибрации и пульсации в устройствах считывания информации, системах внутренней локации роботов и манипуляторов.

Оптроны АОТ137 состоят из излучателя и фототранзистора (**ФТ**), размещенных в малогабаритном корпусе с двумя оптическими окнами, расположенными в одной плоскости. Высокая чувствительность обеспечивается использованием фотоприемного элемента с внутренним усилением — высокочувствительного микромощного *n-p-n*-ФТ с коэффициентом усиления больше 100, а также высокой степенью спектрального согласования слоев GaAlAs излучающего элемента (**ИЭ**) и кремниевого планарного фототранзисторного элемента (**ФЭ**) с площадями 0,16 и 0,25  $\text{мм}^2$ , соответственно. Длина волны излучения, соответствующего максимальной чувствительности **ФЭ**, составляет 0,82—0,89  $\mu\text{м}$ . Базовое расстояние между оптическими осями **ИЭ** и **ФЭ** оптрана  $b \approx 1,8$   $\text{мм}$ .

Следует отметить такое свойство оптрана отражающего типа, как зависимость относительного выходного сигнала от перемещения преломляющего штриха параллельно и перпендикулярно плоскости оптических окон. Заметный спад амплитуды выходного сигнала оптрана начинается при уменьшении ширины преломляющего штриха до 0,5  $\text{мм}$ . Максимум амплитуды наблюдается при расстоянии от отражателя до плоскости оптических окон  $A = 0,6$ —0,8  $\text{мм}$ . С изменением величины  $A$  относительный выходной сигнал  $I_{\text{вых}}$  резко падает.

Одной из основных характеристик отражающего оптрана является координатная чувствительность ( крутизна)  $S_1$ , которая определяется первой производной выходного тока по координате поперечного перемещения. Максимум этой характеристики  $S_{1\max}$  достигается вблизи оптической оси оптрана. При изменении базы оптрана от 1 до 5  $\text{мм}$   $S_{1\max}$  уменьшается с 440 до 18  $\text{мкА/мм}$ , а  $I_{\text{вых},\max}$  — со 180 до 7  $\text{мкА}$  [2].

В разработанном датчике угловых и линейных перемещений (ДУЛП) расстояние  $A$  от поверхности датчика до контролируемой поверхности тест-объекта составляет  $0,7 \pm 0,03$   $\text{мм}$ , конструктивный размер  $h$  (расстояние от поверхности датчика до усредненной плоскости ИЭ и ФЭ) равен 0,9  $\text{мм}$ ; размер фоточувствительной площадки составляет  $3 \cdot 10^{-3} \text{ мм}^2$ , что в 80 раз меньше, чем у аналогов. Таким образом, координата раstra  $d = A + h = 1,6 \pm 0,03$   $\text{мм}$ , что примерно в 2,5 раза отличается от координаты раstra вдоль оптической оси  $d_{\text{опт}} = 1/2b$  при  $b = 1,5$   $\text{мм}$ .

При таких условиях уровень  $I_{\text{вых},\max}$  по аналоговому выходу разработанного датчика составляет не менее 200  $\text{мкА}$  при  $I_{\text{вх}} = 20 \text{ мА}$  и 380—420  $\text{мкА}$  при  $I_{\text{вх}} = 30 \text{ мА}$ . При величине нагрузки  $R_h = 1 \text{ кОм}$  крутизна  $S_L$  составляет  $\approx 2300 \text{ мкА/мм}$ , время нарастания и спада выходного сигнала  $T_{\text{нар/спад}}$  меньше 2  $\text{мкс}$ , что лучше, чем у оптрана АОТ137А.

Сравнить эффективность оптрана АОТ137А и датчика ДУЛП по аналоговому выходу можно по отношению выходного тока к величине фотоприемной площади ФТ (при одинаковых размерах излучателей и величине  $I_{\text{вх}} = 10 \text{ мА}$ ): для оптрана АОТ137А  $I_{\text{вых}}/s_{\phi} = 7,2 \cdot 10^2$ , для ДУЛП  $I_{\text{вых}}/s_{\phi} = 1,7 \cdot 10^4$ .

Рассмотрим фоточувствительную микросхему КБ113ОГП1-3 [3], предназначенную для измерительных фотоэлектрических преобразователей малых перемещений «угол—код» или «шаг—код». В ее состав входят два ФТ, усилитель постоянного тока на двух дифференциальных усилителях, схема смещения уровня, зеркальный канал, триггер Шмидта и формирователь прямоугольных импульсов.

К недостаткам микросхемы следует отнести необходимость применения дискретного излучателя (т. к. в составе микросхемы он отсутствует), необходимость в насыщенном режиме работы ФТ и большие перепады  $U_{\text{вых},\text{ФТ}}$ .

## СЕНСОЭЛЕКТРОНИКА

Тип оптрана	$I_{\text{вх}}$ , мА	$U_{\text{вх}}$ , В	$U_{\text{вых}}, (U_{\text{oc}})$ , В	$I_{\text{вых}}$ , мА	$T_{\text{нап/спад}}$ , мкс	Примечания
SHF902	50	—	0,2 (<0,6)	0,06—0,20	40 при $R_h=1$ кОм	
АОТ137А	10	1,8	(0,4)	0,3 при $d=1$ мм	10 при $R_h=1$ кОм	Насыщенный режим
ОТПО-01 ОТПО-02	10	1,8	(0,4) (0,4)	0,2 0,01	10 (15) 10 (15)	Насыщенный режим
КБ113ОПП-1-3 Микросхема	—	—	$U^0 \leq 0,4$ $U^1 \geq 2,4$	—	не более 1	Излучатель отсутствует, насыщенный режим
ДУЛП (аналоговый выход)	$25 \pm 5$	1,8	0,02—3,8	0,38—0,42 при $d=0,7$ мм	$\leq 2$ при $R_h=1$ кОм	Ненасыщенный режим
ДУЛП (цифровой выход)	$25 \pm 5$	1,8	$U^0=0,02$ $U^1 > 4,8$	—	$\leq 1$ при $R_{h,\text{ан}}=20$ кОм; при $R_{h,\text{циф}}=150$ кОм	Ненасыщенный режим

Здесь  $U_{\text{oc}}$  — напряжение на открытом ФТ;  $U^0, U^1$  — напряжение в состоянии логического 0 и логической 1, соответственно.

Разработанный ДУЛП позволяет в значительной мере избавиться от недостатков, имеющихся в аналогах.

Электрические параметры разработанного датчика и его аналогов при напряжении питания  $U_{\text{пит}}=5$  В представлены в **таблице**.

Применение в разработанном датчике логической интегральной схемы "2И-НЕ" (комплементарная МОП) позволяет получать информацию в цифровом виде, повысить помехоустойчивость, упростить следующие каскады обработки информации. При этом потребляемая мощность предельно низкая ( $I_{\text{пот}}=0,1$  мкА при  $U_{\text{пит}}=9,9$  В), а напряжение на цифровом выходе меняется практически от 0 до напряжения питания.

Координатные характеристики напряжения аналогового и цифрового выходов датчика представлены на **рис. 1**. Здесь видно, что крутизна координатной характеристики для цифрового выхода стремится к бесконечности.

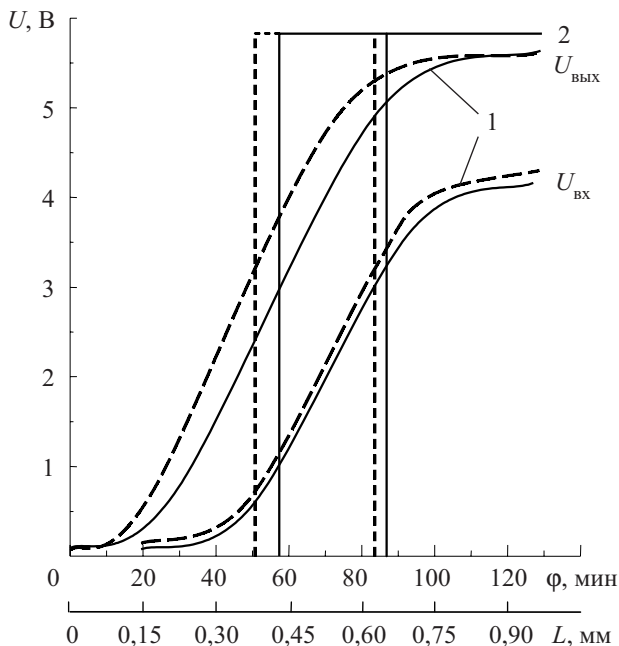


Рис. 1. Координатные характеристики напряжения на аналоговом (1) и цифровом (2) выходах датчика при  $A=0,4$  мм (—) и  $A=1,0$  мм (- - -) ( $R_h=20$  кОм,  $I_{\text{пит},\text{ИЭ}}=30$  мА,  $U_{\text{пит},\text{ФЭ}}=6$  В)

Значение крутизны координатной характеристики для аналогового выхода лежит в пределах 280—394 мкА/мм.

Перепад напряжения  $\Delta U$  по аналоговому выходу из оптопары вычисляется как разность напряжения на выходе при приеме сигнала, отраженного от светлой поверхности раstra ( $U_{\text{отр}}$ ), и напряжения на выходе при приеме сигнала, отраженного от темной поверхности раstra ( $U_{\text{погл}}$ ). На частоте нескольких десятков герц  $\Delta U$  составлял 1,5 В при  $U_{\text{погл}}=2,7$  В и  $U_{\text{отр}}=4,2$  В. Скорость нарастания напряжения  $dU/dt=40$  мкВ/мкс при  $I_{\text{вх}}=20$  мА и  $R_h=35$  кОм. На частоте 12 кГц перепад напряжения снизился до уровня 0,9 В при  $U_{\text{погл}}=2,7$  В и  $U_{\text{отр}}=3,6$  В, скорость нарастания напряжения  $dU/dt=28$  мкВ/мкс.

Вначале сравнительные измерения были выполнены без линз. Для улучшения эффективности датчика с точки зрения повышения крутизны координатной характеристики и частотных свойств, для увеличения сигнала фотоотклика была создана усовершенствованная конструкция с применением сферических линз и с ФТ, коэффициент усиления которого  $h_{21e}=350$ —500. Следует отметить, что пробивное напряжение ФТ составляет  $U_{\text{кб,пр}}>30$  В, а обратный ток  $I_{\text{об}}<10$  нА при  $U_{\text{кб}}<30$  В.

Координатная характеристика датчика приведена на **рис. 2**; ее крутизна достигает 2300 мкА/мм, а

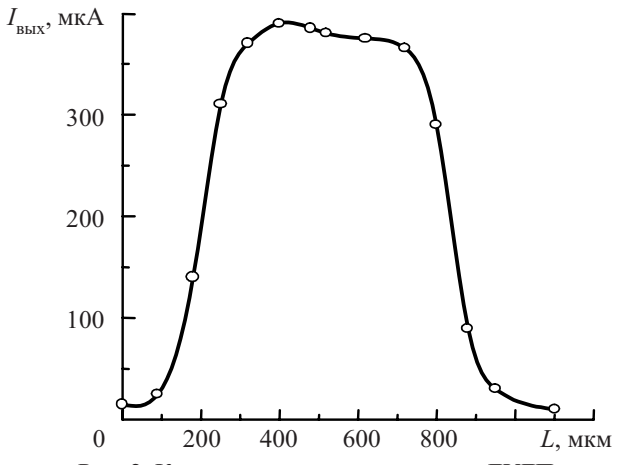


Рис. 2. Координатная характеристика ДУЛП

## СЕНСОЭЛЕКТРОНИКА

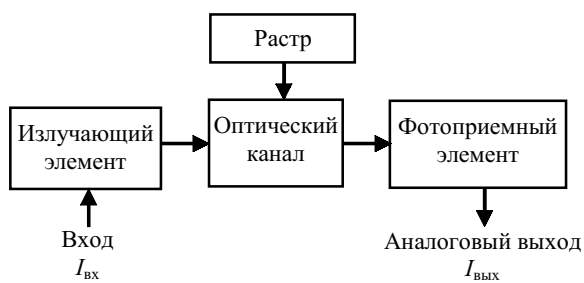


Рис. 3. Структурная схема оптоэлектронного датчика ДУЛП.

предельная частота — 60 кГц без предварительной обработки информации за счет снижения сопротивления нагрузки до величины  $R_h = 1$  кОм. Выходной ток  $I_{\text{вых}} = 380$ —420 мА. Повышение эффективности датчика позволяет уменьшить  $R_h$  до десятков Ом, что улучшает форму выходного аналогового сигнала, уменьшает время нарастания и спада.

Перемещение границы оптического контраста  $L$  для изменения выходного логического сигнала от минимального до максимального — менее 10 мкм.

ДУЛП поставляется в стандартной таре для микросхем. По месту установки припаивают выводы датчика к дорожкам печатной платы. При этом расстояние от поверхности датчика до отражательной поверхности должно быть  $0,7 \pm 0,03$  мм. Поперечная ось датчика должна быть параллельна границе оптического контраста, оптические окна не должны запыляться. Изделие не нуждается в специальном обслуживании. Оптоэлектронный датчик, структурная схема которого представлена на рис. 3, выпускается опытным производством ЦКБ «Ритм».

### ИСПОЛЬЗОВАННЫЕ ИСТОЧНИКИ

1. Полупроводниковые оптоэлектронные приборы. Справочник / В. И. Иванов, А. И. Аксенов, А. М. Юшин.— М.: Энергатомиздат, 1988.
2. Трищенков М. А. Фотоприемные устройства и ПЗС. Обнаружение слабых оптических сигналов.— М.: Радио и связь, 1992.
3. Справочник по полупроводниковым приборам и их аналогам / Под ред. А. М. Пыжевского.— М.: АО «Роби», 1992.

## НОВЫЕ КНИГИ

### НОВЫЕ КНИГИ

**Гуртов В. А., Осауленко Р. Н. Физика твердого тела для инженеров.— М.: Техносфера, 2007.— 520 стр.**

Учебное пособие представляет собой систематизированное и доступное изложение курса физики твердого тела, содержащее основные элементы физики конденсированного состояния и ее приложения для описания физических свойств твердых тел и процессов, происходящих в них. Подробно рассматриваются вопросы строения кристаллов и аморфных твердых тел, типы межатомных связей и их влияние на структуру веществ. Приводятся основные положения теории колебаний атомов в кристаллической решетке, описаны тепловые, магнитные и диэлектрические свойства конденсированных сред. В учебном пособии отражены необходимые сведения из атомной физики и квантовой механики и на этой основе — зонная теория твердых тел и электронные процессы в них. Рассматриваются основные положения теории сверхпроводимости и фазовых переходов. Книга написана доступным языком с привлечением математического аппарата в объеме вузовских курсов по математике.

Учебное пособие рассчитано на студентов инженерных факультетов, изучающих физику твердого тела или некоторые ее разделы, а также может быть полезно научным работникам смежных с физикой областей науки, желающим ознакомиться с основными положениями и методами физики твердого тела.

**Фриск В. В., Логвинов В. В. Основы теории цепей, основы схемотехники, радиоприемные устройства.— М.: Солон-Пресс, 2008.— 608 с.**

Рекомендована в качестве учебного пособия для студентов высших учебных заведений, обучающихся по направлению «Телекоммуникации» по специальностям: радиосвязь, радиовещание и телевидение, средства связи с подвижными объектами, защищенные системы связи.

Учебное пособие состоит из двух частей. В первой части представлены лабораторные работы по курсу «Основы теории цепей». Во второй части приведены лабораторные работы по курсу «Основы схемотехники» и «Радиоприемные устройства». Все лабораторные работы выполняются на персональном компьютере с помощью системы схемотехнического моделирования Micro-Cap 8 или Micro-Cap 9.

Для студентов, бакалавров, магистров и аспирантов высших учебных заведений (университетов связи), инженерно-технических работников, также будет полезна учащимся техникумов и колледжей связи всех специальностей.



### НОВЫЕ КНИГИ

